

# Gedanken zur Spektralanalyse

Dipl. Hydrol. U. Spank  
TU- Dresden  
Institut für Hydrologie und Meteorologie  
Pienner Straße 23  
01737 Tharandt  
Tel.: 0351-463 39107  
Mail: [Uwe.Spank@tu-dresden.de](mailto:Uwe.Spank@tu-dresden.de)

Tharandt, 22.09.2010

- ☞ **Turbulente Transport in der atmosphärischen Grenzschicht = Überlagerung von Luftwirbeln verschiedener Größen**
  - ☞ **unter stationären Bedingungen → Superposition von Schwingungen mit unterschiedlichen Frequenzen auffassen**
  - ☞ **Analyse der Schwingungen = Spektralanalyse**
  - ☞ von einem Messsystem kann jedoch nur eine bestimmte Größenordnung von Luftwirbeln und somit nur ein bestimmter Frequenzbereich erfasst werden
  - ☞ durch die unvollständige Erfassung → spektralen Dämpfung
  - ☞ spektrale Dämpfung = Superpositionierung verschiedener (durch Systemkomponenten verursachter) Hoch- und Tiefpassfilter
- (1) Wie kann man Schwingungen (Frequenzen) des maßgebenden Transports/ der maßgebenden Turbulenz bestimmen und darstellen → Spektralanalyse**
  - (2) Beschreibung von Spektren mit Modellen**
  - (3) Praktische Beispiele**

## → Beschränkung auf Fourier- Transformation (Fourieranalyse)

Alternativen: Wavelet- Analysen, LOMB- Scargle- Algorithmus, Autokorrelation)

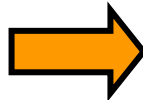
**Fourier- Transformation: Darstellung einer Zeitreihe durch Superpositionierung von Sinus-Funktionen**

→ unterschiedliche Frequenz

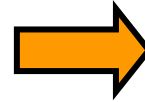
→ unterschiedliche Phase

→ unterschiedliche Amplitude

**Daten-/ Originalbereich**



**Bild-/ Spektralbereich**

**Direkte Fourier-Transformation (DFT)**
**Daten-/ Originalbereich**

**Bild-/ Spektralbereich**

$$T_{FT}(c) = \sum_{k=0}^{n-1} \frac{x_k}{n} \cdot \exp\left(-i \cdot 2\pi c \cdot \frac{k}{n}\right)$$

$$x_k = \sum_{c=0}^{n-1} T_{FT}(c) \cdot \exp\left(i \cdot 2\pi c \cdot \frac{k}{n}\right)$$

$x_k$ ... k-te Element der Datenreihe  
 $n$ ... Anzahl der Elemente  
 $c$ ... Wellenzahl im Bildbereich

→ DFT sehr rechenintensiv → Fast Fourier- Transformation (FFT)

→ Anzahl der Datenpunkte beschränkt auf  $2^x$  (*Originaldatenreihe kürzen !*)

**Euler- Notation:**  $\rho \exp(i \varphi) = \rho (\cos(\varphi) + i \sin(\varphi)) = \text{Re} + i \text{Im}$

→ **Ergebnis: Imaginäre Zahlen**

→ Betrag  $\rho$  = Amplitude der Schwingung

→ Winkel  $\varphi$  = Phase

→ Wellenzahl  $c$  → Frequenz

## Umrechnung Wellenzahl → Frequenz

$$f_k = \frac{c_k}{n} \cdot f_M = \frac{c_k}{n \cdot T_M}$$

$$\Delta f = f_{k+1} - f_k = \frac{1}{n} \cdot f_M = \frac{1}{n \cdot T_M}$$

$f_M$ ... Frequenz im Originalbereich

$T_M$ ... Messintervall im Originalbereich

$c_k$ ... k-te Wellenzahl im Bildbereich

$f_k$ ... k-te Frequenz im Bildbereich

$\Delta f$ ... Spektrale Auflösung (Bildbereich)

$n$ ... Anzahl der Elemente

**KEINE Auflösung von Frequenzen  $> f_M/2 \rightarrow$  Nyquistkriterium**

$f_{Ny}$ ... Nyquist-Frequenz

$$f_{Ny} = \frac{f_M}{2} = \frac{1}{2 \cdot T_M}$$

**KEINE Auflösung von Frequenzen  $< f_M/n$**

**$c = 0 \rightarrow$  Mittelwert der Datenreihe ( $\sim$  Offset der Schwingungen)**

- Phase für viele meteorologische Anwendungen nicht benötigt
- **Amplitude (Betrag der Imaginären Zahl) → Energie-/ Powerspektrum  $E(c)$**

**n geradzahlig:**  $E(c) = 2 \cdot |T_{FT}(c)|^2$  für  $1 \leq c \leq \frac{n}{2} - 1$  und  $E(c) = |T_{FT}(c)|^2$  für  $c = \frac{n}{2}$

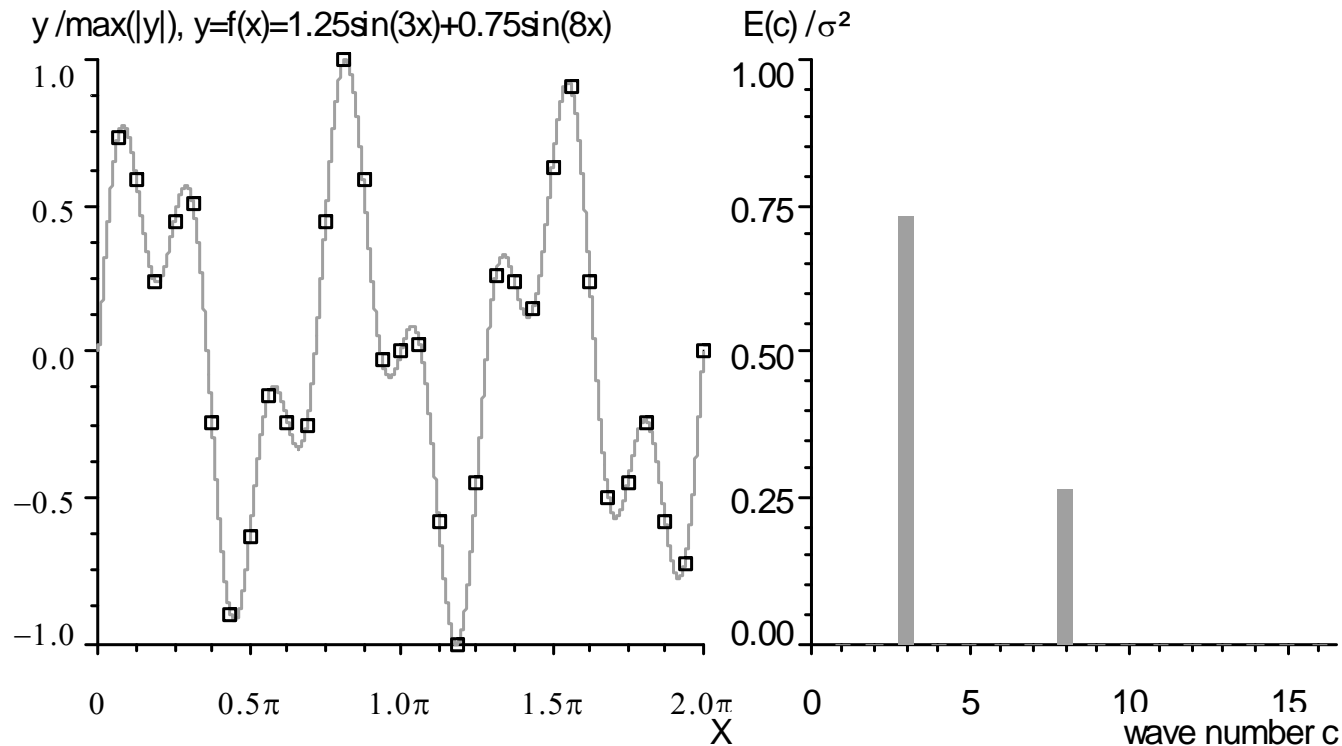
**n ungerade:**  $E(c) = 2 \cdot |T_{FT}(c)|^2$  für  $1 \leq c \leq \frac{n}{2}$

→ **Summe des Energiespektrums = nicht biaskorrigierte Varianz**

$$\sigma_{biased}^2(x) = \frac{\sum_{k=0}^{n-1} (x - \bar{x})^2}{n} = \sum_{k=1}^{n/2} E(c_k)$$

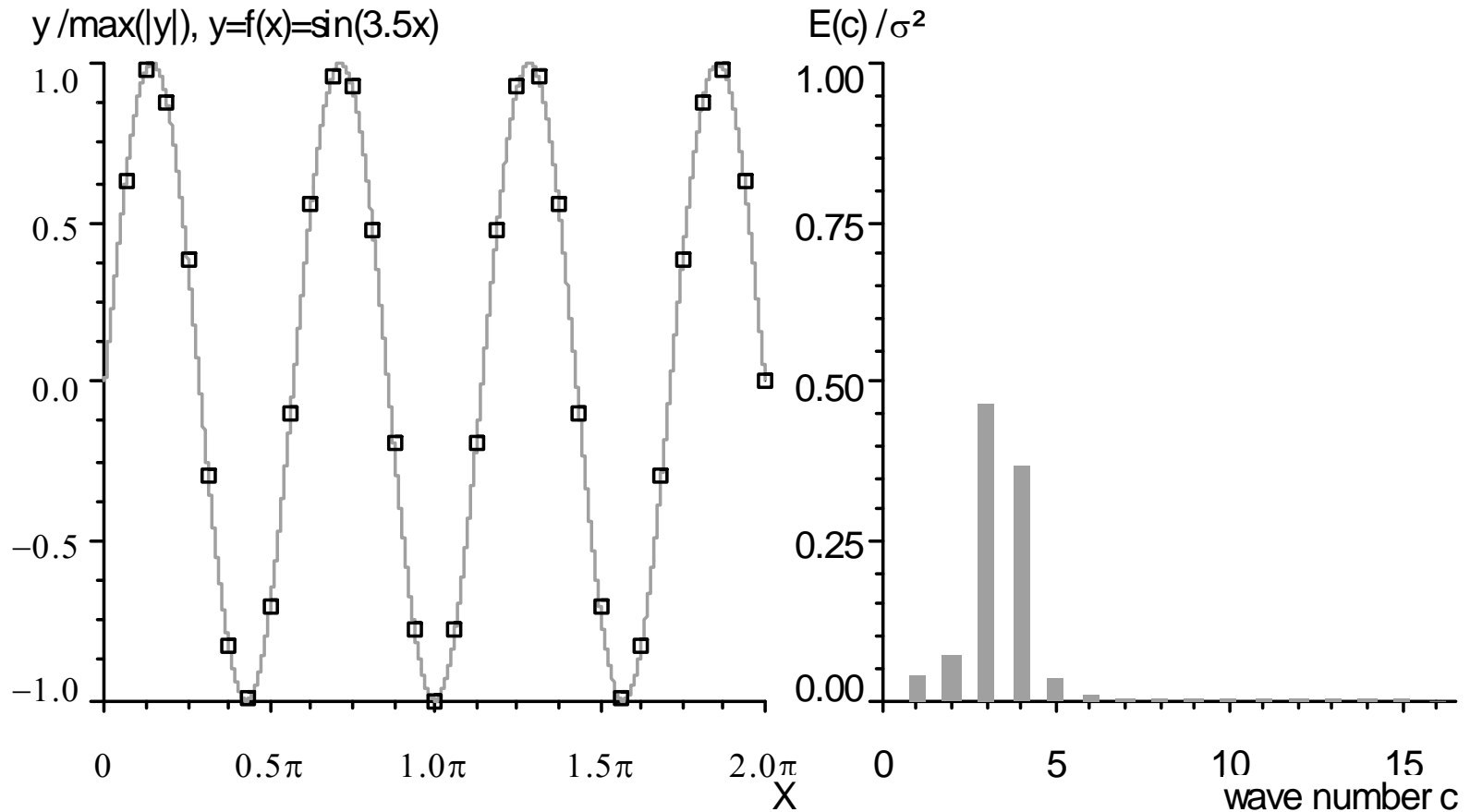
→ **Normierung mit Messfrequenz/ Spektraler Auflösung → Energiedichtespektrum**  $S(f_k) = \frac{E(c_k)}{\Delta f} = E(c_k) \cdot \frac{n}{f_M} = E(c_k) \cdot n \cdot T_M$

$$\sigma_{biased}^2(x) = \sum_{f(c=1)}^{f_{NY}} \Delta f \cdot S_x(f) \rightarrow \int_{\lim f \rightarrow 0}^{\infty} S_x(f) df = \int_{\lim f \rightarrow 0}^{\infty} f \cdot S_x(f) d \log f$$



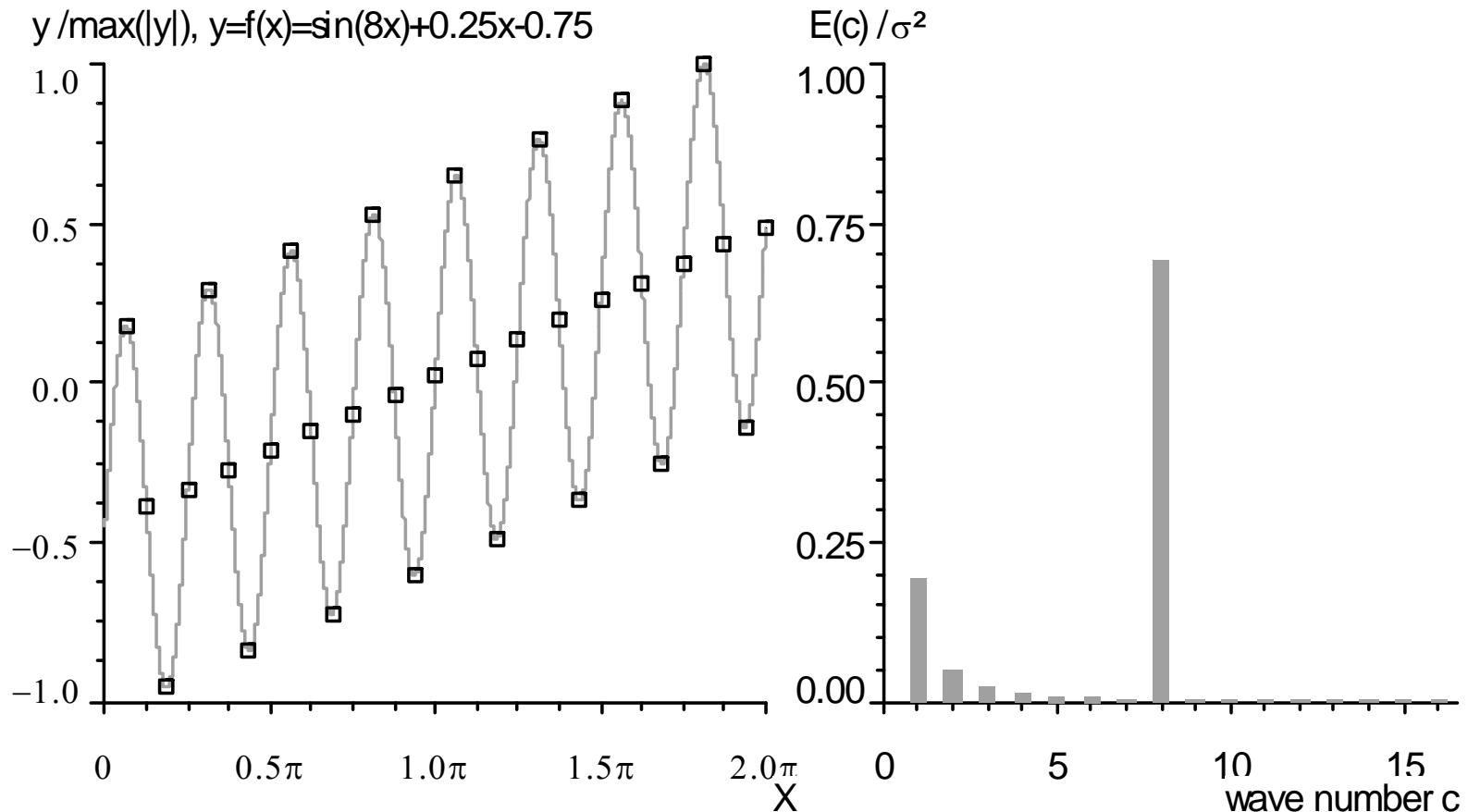
**Superpositionierung von Schwingungen (Bsp. 1), links: Zeitreihe, rechts normiertes diskretes Energiespektrum**

**→ Abbildung ganzzahliger Wellenzahlen**



Superpositionierung von Schwingungen (Bsp. 2), links: Zeitreihe, rechts normiertes diskretes Energiespektrum

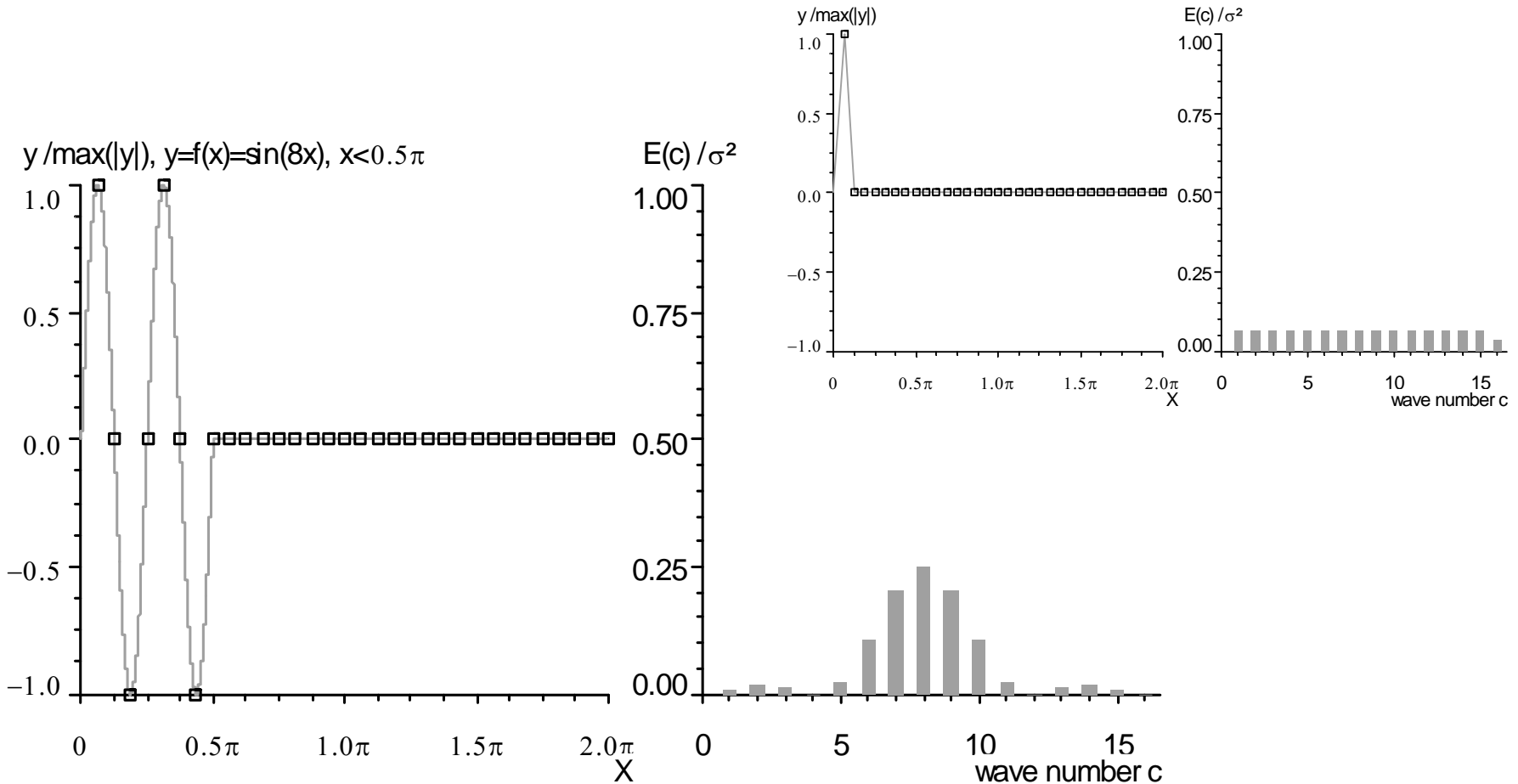
**→ gebrochenzahlige Wellenzahl → NICHT abbildbare Wellenzahlen**  
**Aufweitung des Spektrums → Rauschen**



Superpositionierung von Schwingungen (Bsp. 3), links: Zeitreihe, rechts normiertes diskretes Energiespektrum

→ **linearer Trend** → **Red- Noise** (genauere Unterscheidung in Pink-  $[f^{-1}]$  Noise und in eine Brown-  $[f^{-2}]$  Noise)

→ **Hochpassfilter (Mindestens Detrending der Datenreihe) !!!**

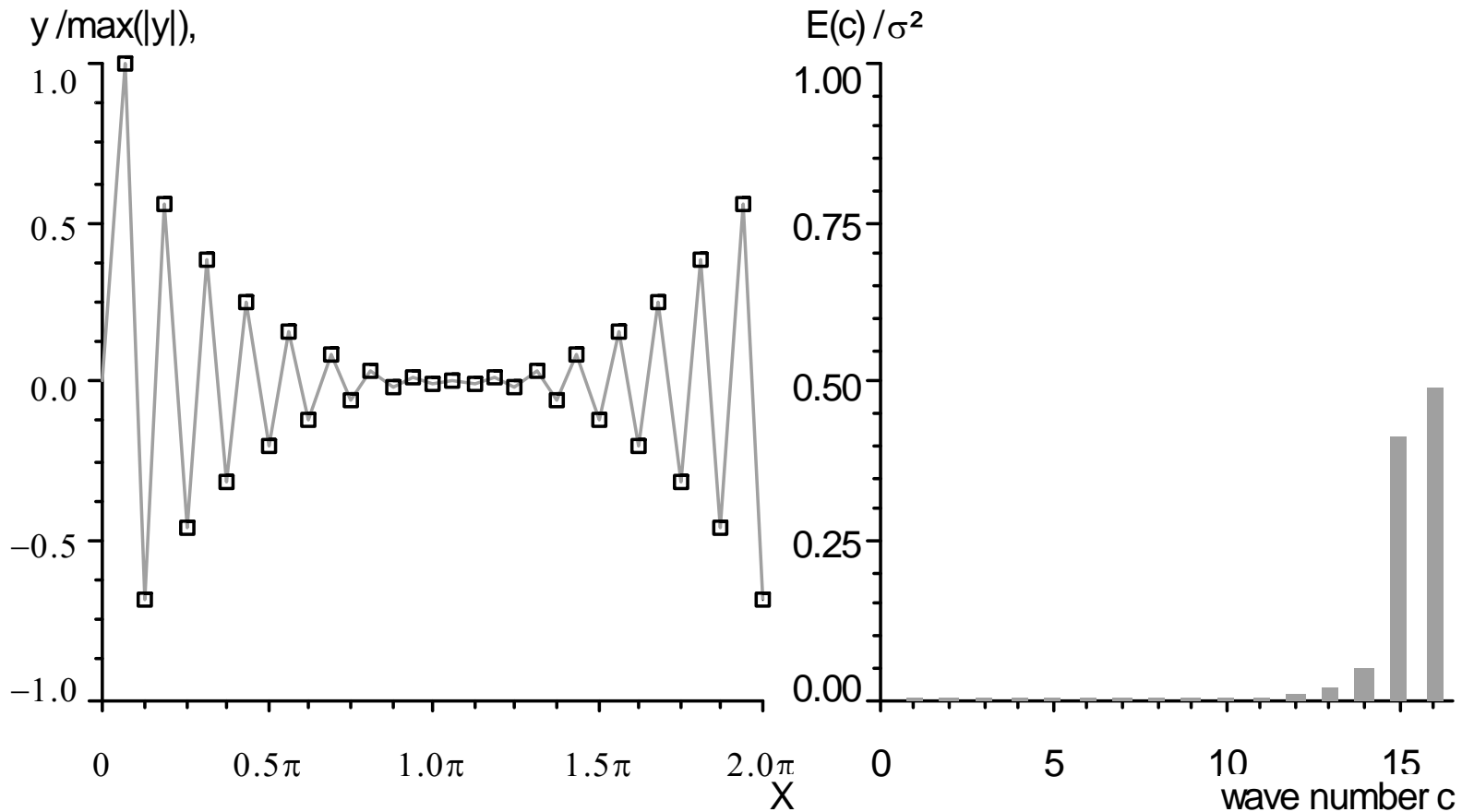


Superpositionierung von Schwingungen (Bsp. 4), links: Zeitreihe, rechts normiertes diskretes Energiespektrum

→ Leakage (Fehlende Daten/ nicht abgebildete Schwingungen) → White Noise

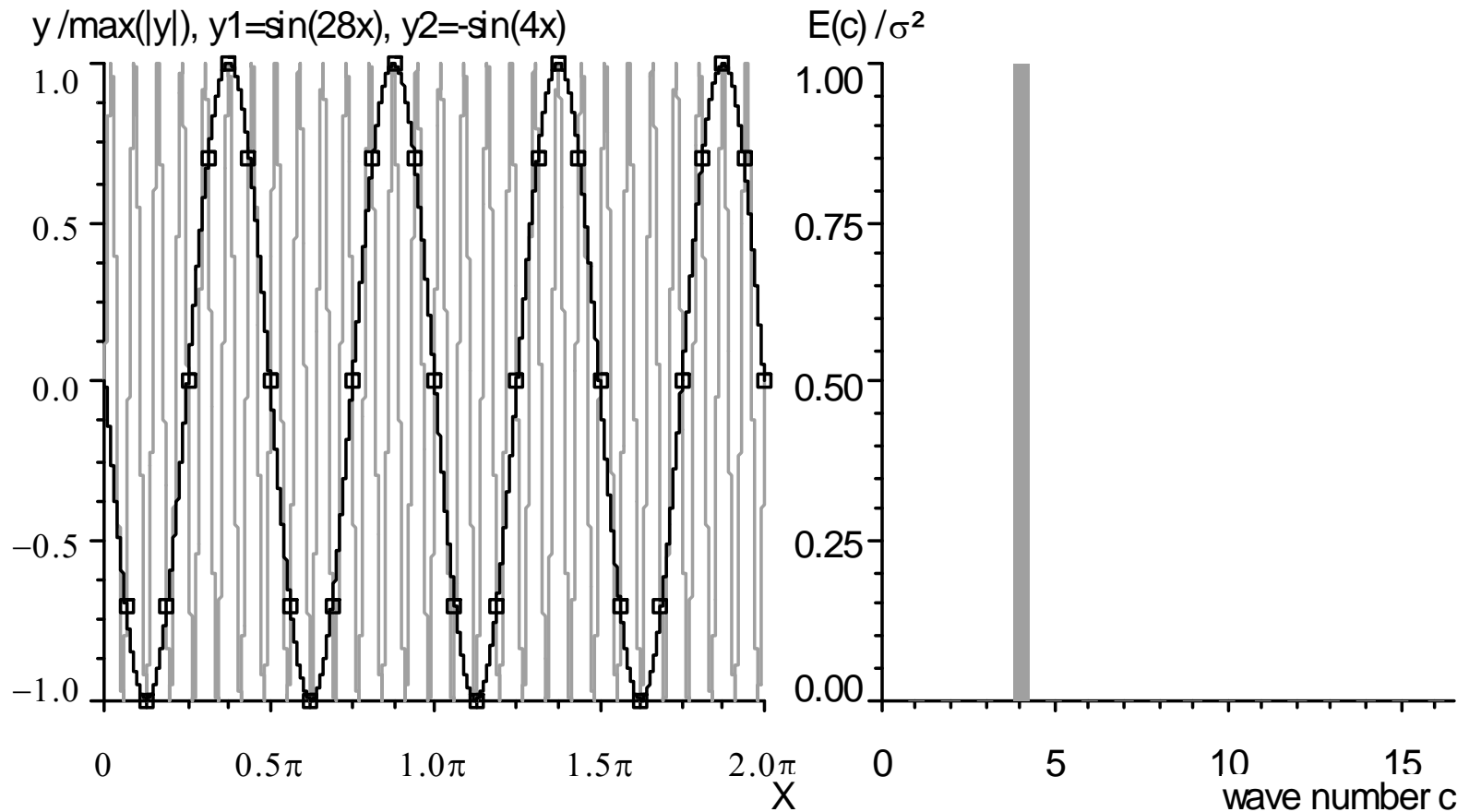
→ Datenlücken ergänzen (ABER WIE ?)

→ Messfrequenz muss zur Messwertaufösung passen !

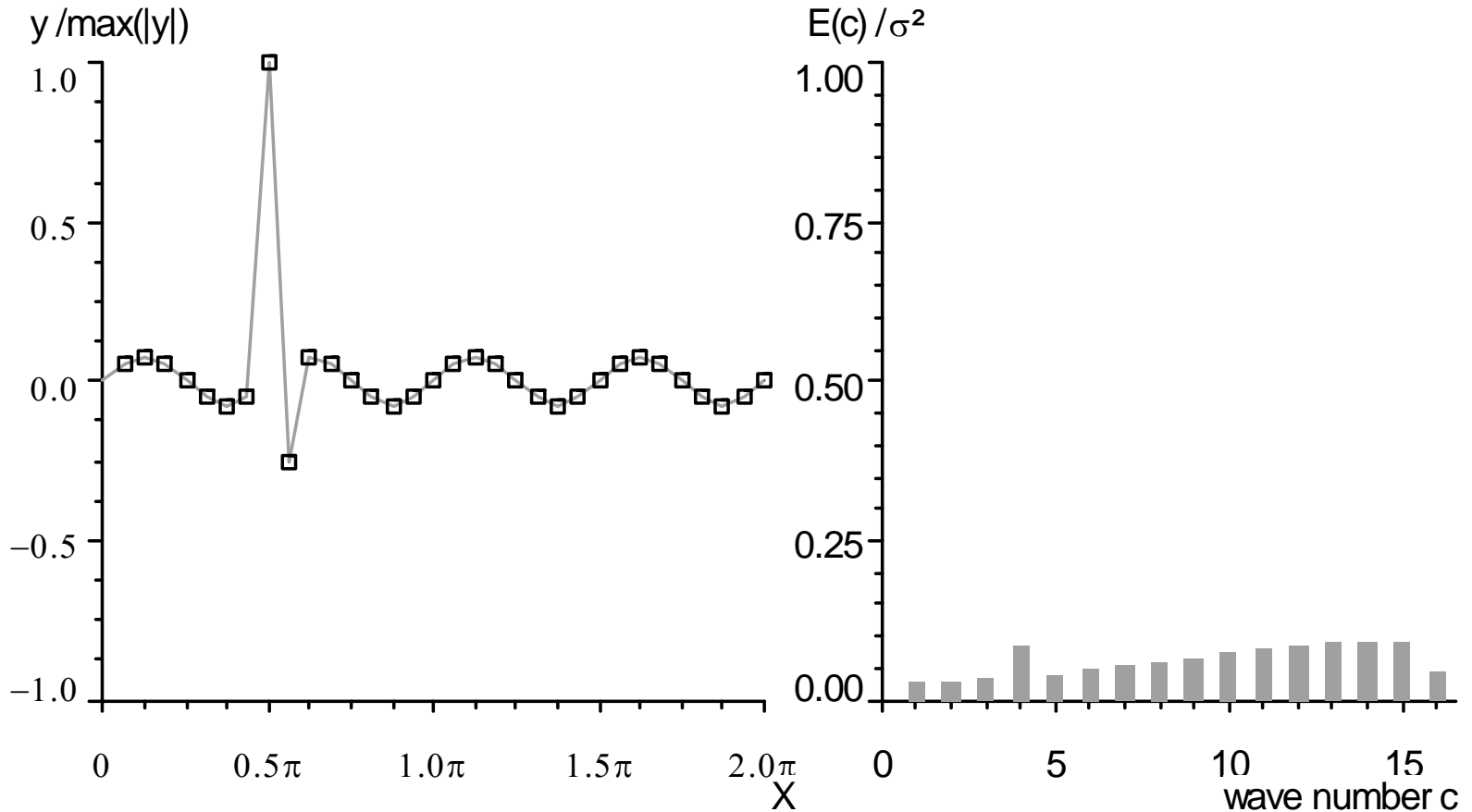


Superpositionierung von Schwingungen (Bsp. 5), links: Zeitreihe, rechts normiertes diskretes Energiespektrum

- **Ansteigen des Spektrums in höheren Frequenzen → Blue Noise** (genauere Unterscheidung Azure-  $[f]$  und Purple-  $[f^2]$  Noise)
- **Verschieden Ursachen: Instationarität, nicht abbildbare hohe Frequenzen, Leakages, nicht Einhaltung des Nyquist- Kriterium**



Superpositionierung von Schwingungen (Bsp. 6), links: Zeitreihe, rechts normiertes diskretes Energiespektrum  
 → **Nicht Einhaltung des Nyquist-Kriteriums** (→ Frequenzen oberhalb  $f_M/2$  NICHT abbildbar → werden durch niederfrequente Schwingungen interpretiert)



Superpositionierung von Schwingungen (Bsp. 7), links: Zeitreihe, rechts normiertes diskretes Energiespektrum

→ **Spikes** → **White- und Blue- Noise** (nicht vorhandene Schwingungen werden interpretiert)

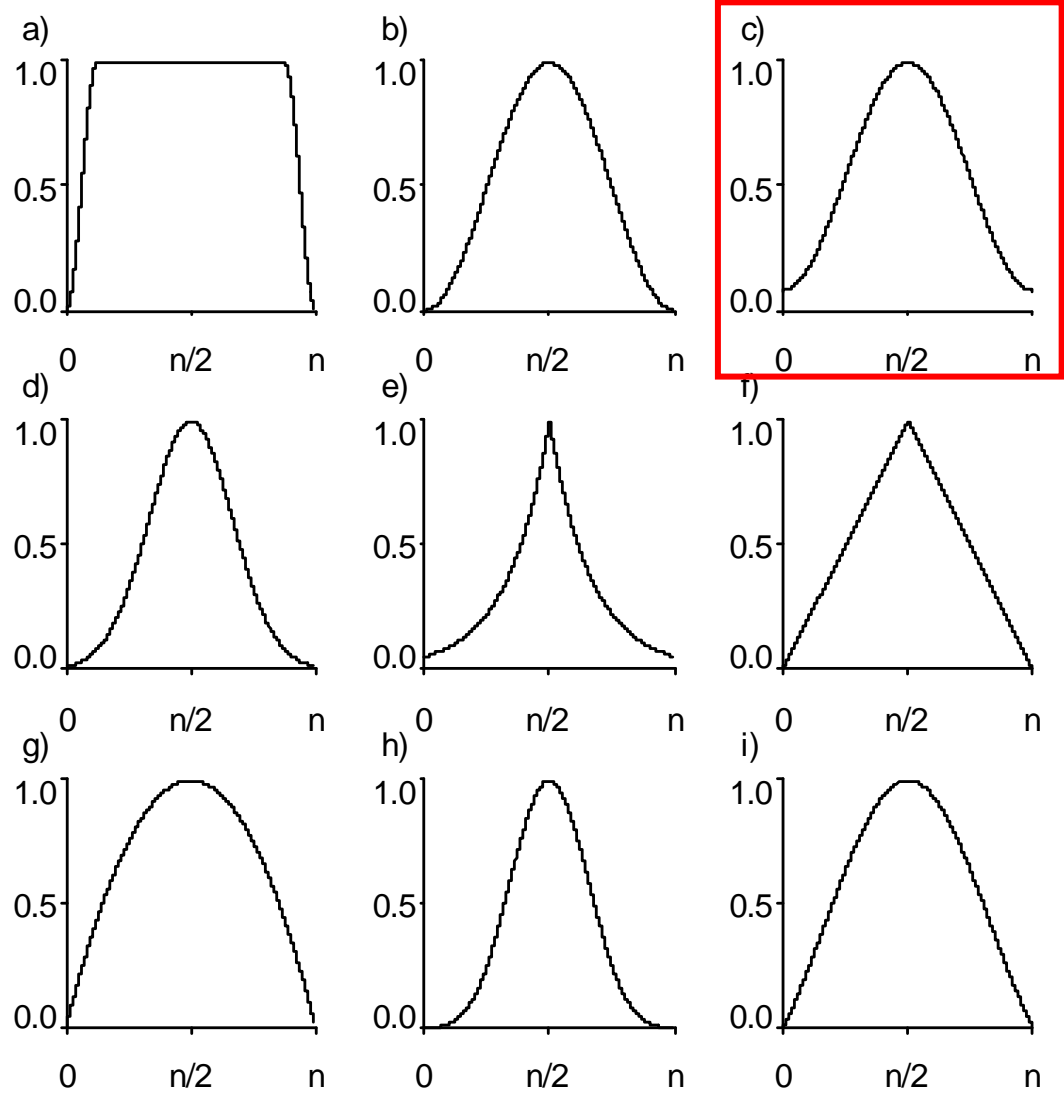
→ **Ausreißer- Tests !** (→ Was ist Ausreißer? → Faustregel  $> 3$  bis  $10\sigma$ ;  $5\sigma$  → iterativer Prozess)

## Probleme bei der Fourier- Analyse realer Daten

- instationäre Daten → zeitliche Veränderung des Spektrums im Datensatz (schon innerhalb einer  $\frac{1}{2}$  Stunde)
- Red-, White- und Blue Noise treten gleichzeitig auf
- Nicht abbildbare Frequenzen → Frequenzkontinuum statt diskreter Frequenzen
- Datensatz nur Fenster des Spektralenbereichs (inverse Betrachtung)
  - **Data- Windowing**
- für meteorologische Anwendung → nicht der einzelne Peak sondern Verlauf des Spektrums interessant
  - **Glättung**

- **Datensatz = Ausschnitt (Datenfenster) einer unendlichen Zeitreihe**
- **Fouriertransformation basiert auf Annahme → diese unendliche Zeitreihe beschreibbar durch Aneinanderreihung des zugrunde liegenden Datenfensters**
- **alle enthalten Schwingungen würden sich ins Unendliche fortsetzen**
- **bei meteorologischen Daten kann eine Periodizität → nur für einen bestimmten (stationären) Zeitbereich angenommen**
- **Daten selbst verursachen ein Leakage mit den entsprechenden Folgen**
- **Eindämmung dieses Problems → Schaffung eines kontinuierlichen Ein- und Austritt in das Datenfenster**
  - **Multiplikation des trendbereinigten Datensatzes mit einer Taper- Funktion (Window- Funktion)**
  - **Praktisch: häufig mit Verstärkung der Red- Noise verbunden !?!**

Name der Taper- Funktion	Funktion
Cosine	$t(k) = 0.5 - 0.5 \cdot \cos\left(\frac{\pi}{\alpha \cdot n} \cdot \left(k - \frac{1}{2}\right)\right) \rightarrow k < \alpha \cdot n$ $t(k) = 1.0 \rightarrow \alpha \cdot n \leq k \leq (1 - \alpha) \cdot n$ $t(k) = 0.5 - 0.5 \cdot \cos\left(\frac{\pi}{\alpha \cdot n} \cdot \left(n - k + \frac{1}{2}\right)\right) \rightarrow k > (1 - \alpha) \cdot n$
Hanning	$t(k) = 0.5 + 0.5 \cdot \cos\left(\pi \cdot \left(\frac{2k}{n} - 1\right)\right)$
Hamming	$t(k) = 0.54 + 0.46 \cdot \cos\left(\pi \cdot \left(\frac{2k}{n} - 1\right)\right)$
Gaussian	$t(k) = \exp\left(-\frac{1}{2} \cdot \alpha^2 \cdot \left(\frac{2k}{n} - 1\right)^2\right)$
Poisson	$t(k) = \exp\left(-\alpha \cdot \left \frac{2k}{n} - 1\right \right)$
Triangle (Barlett)	$t(k) = 1 - \left \frac{2k}{n} - 1\right $
Welch (Parzen I)	$t(k) = 1 - \left(\frac{2k}{n} - 1\right)^2$
Parzen (Parzen II)	$t(k) = 1 - 6 \cdot \left(\frac{2k}{n} - 1\right)^2 + 6 \cdot \left \frac{2k}{n} - 1\right ^3 \rightarrow k \leq \frac{1}{4}n \text{ or } k \geq \frac{3}{4}n$ $t(k) = 2 \cdot \left(1 - \left \frac{2k}{n} - 1\right ^3\right) \rightarrow \frac{1}{4}n < k < \frac{3}{4}n$
Daniell	$t(k) = \frac{\sin\left(\pi \cdot \left(\frac{2k}{n} - 1\right)\right)}{\pi \cdot \left(\frac{2k}{n} - 1\right)}$



Datenfenster verschiedener Taper- Funktionen a) Cosine-, b) Hanning, c) Hamming, d) Gaussian, e) Poisson, f) Triangle, g) Welch, h) Parzen, i) Daniell- Taper

## Verlauf steht im Vordergrund → meist Peaks nebensächlich

→ ABER: stehende Wellen durch Pumpen/ Ventilatoren z.B. im Ansaugschlauch von Closed- Path- EC- Systemen?

## Hanning- Glätter → wiederholte Anwendung

$$\tilde{S}_x(f_k) = \frac{1}{4} \cdot (S_x(f_{k-1}) + 2 \cdot S_x(f_k) + S_x(f_{k+1}))$$

👍 nur geringe Verzerrung

👎 Betonung von Peaks, Wiederholte Ausführung

→ für kleine Datensätze oder für Untersuchungen spezieller Frequenzbereiche

## Daniell- Glätter

$$\tilde{S}_x(f_k) = \frac{1}{2b+1} \cdot \sum_{j=-b}^b S_x(f_{k+j})$$

👍 einfach (~ gleitendes Mittel), wählbare Breite

👎 Verzerrung

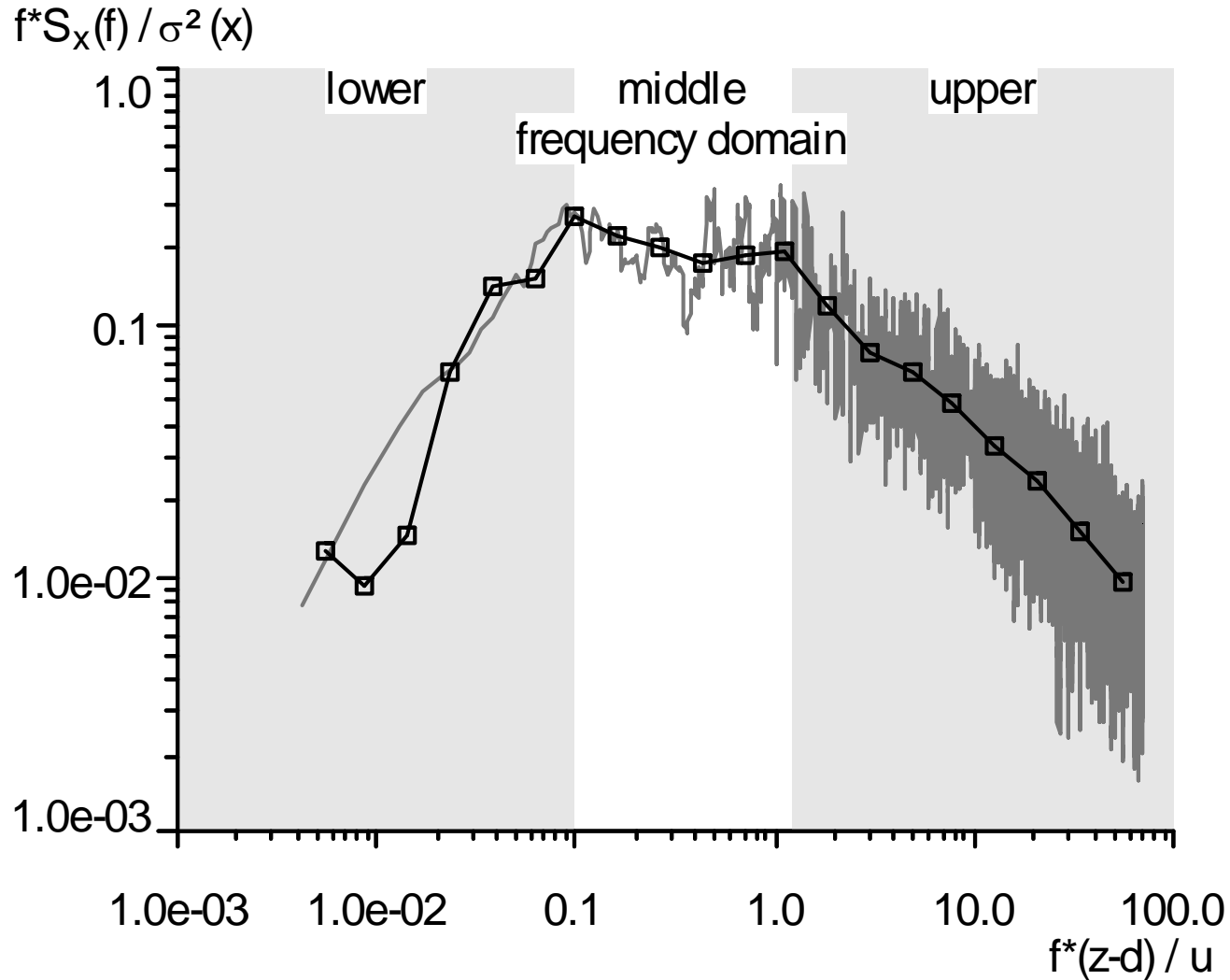
→ für Untersuchung der Form/ von Anstiegen (Slopes) des Spektrum  
(Methode der Wahl bei numerischen Analysen)

## Blockmittel → Logarithmische- Klassenbildung

👍 einfach, gute grafische Darstellung möglich

👎 analytische Untersuchungen ?

→ Visualisierung



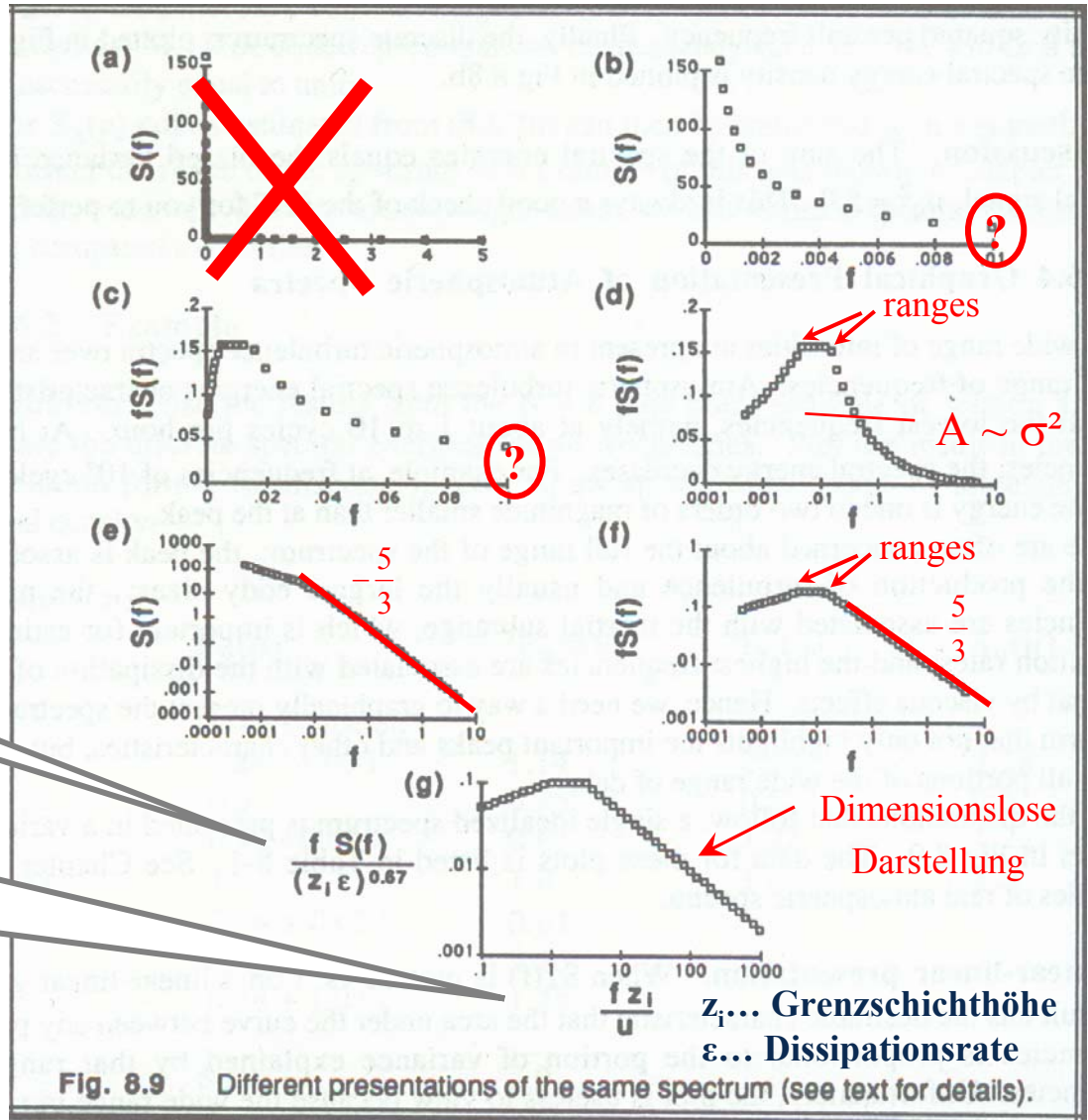
**Vergleich von Daniell- Glätter und Logarithmischen Blockmittel**  
 (Normiertes Spektrum des Vertikalwindes an der ASTW, 07.05.1998 16:30)

Stull R.B. (1988): An Introduction to Boundary Layer Meteorology, Kluwer Academic Publishers, 670 pp.

**Vergleich mit Modell**

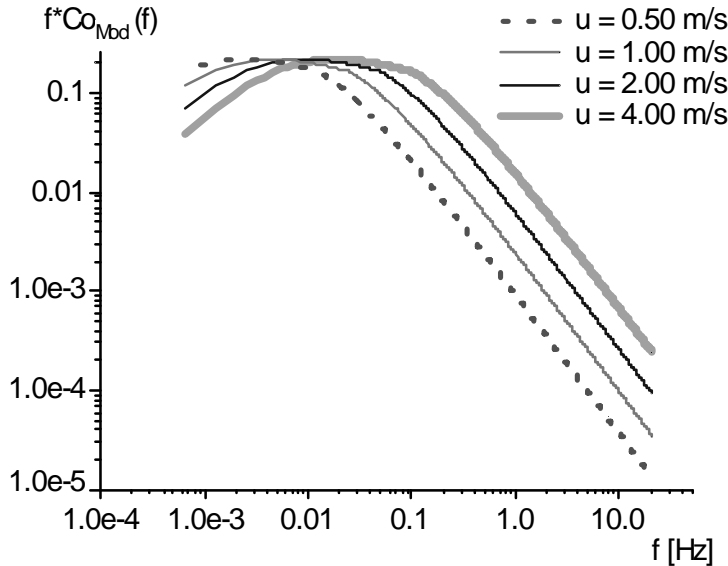
**Normierung der y-Achse nach  $f S(f)/\sigma^2$**   
 $\sigma^2$ ... Varianz

**Normierung der x-Achse nach  $f(z-d)/u$**   
 z... Messhöhe  
 d... Nullpunktverschiebung  
 u... Windgeschwindigkeit

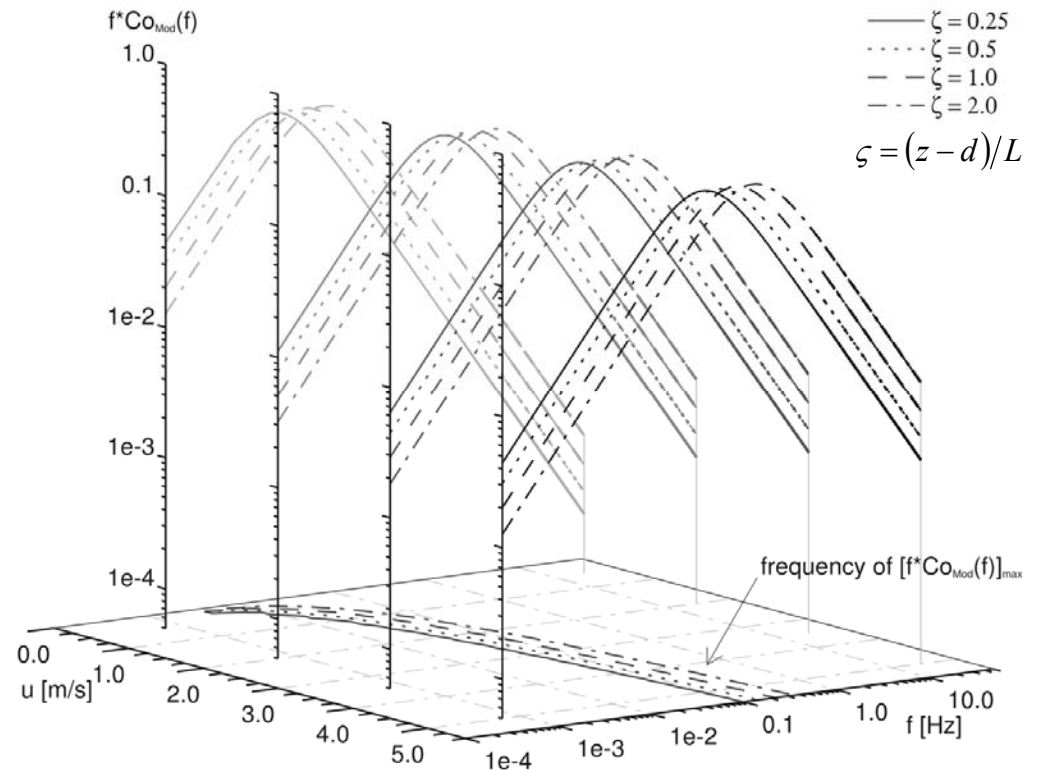


**Darstellung von Spektren**

Modelle basierend auf Kansas- und Minnesota- Boundary- Layer- Experiments (Kaimal et al. 1972, 1976) → NICHT unumstritten Massman and Lee (2004)

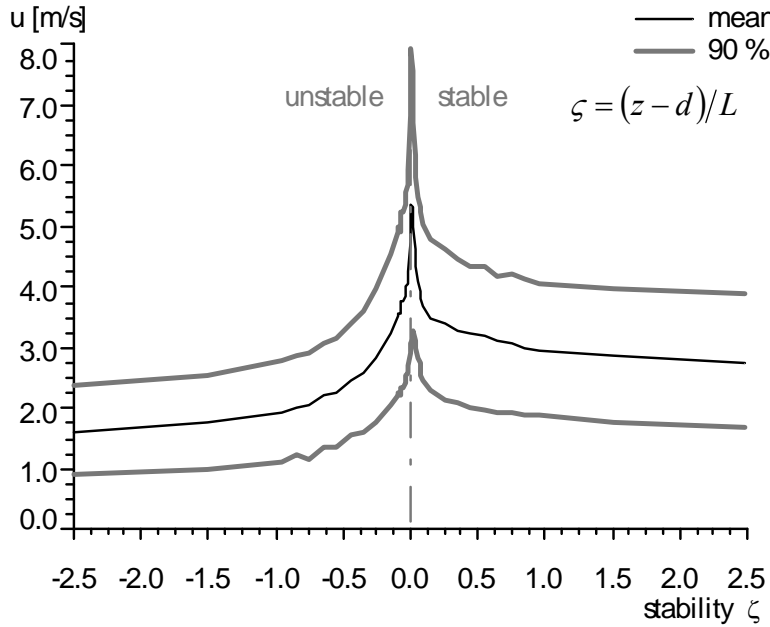


Modell des Kospektrum für stabile Schichtung in Abhängigkeit der Windgeschwindigkeit  $u$  und Stabilität  $\zeta$  (am Beispiel der ASTW)



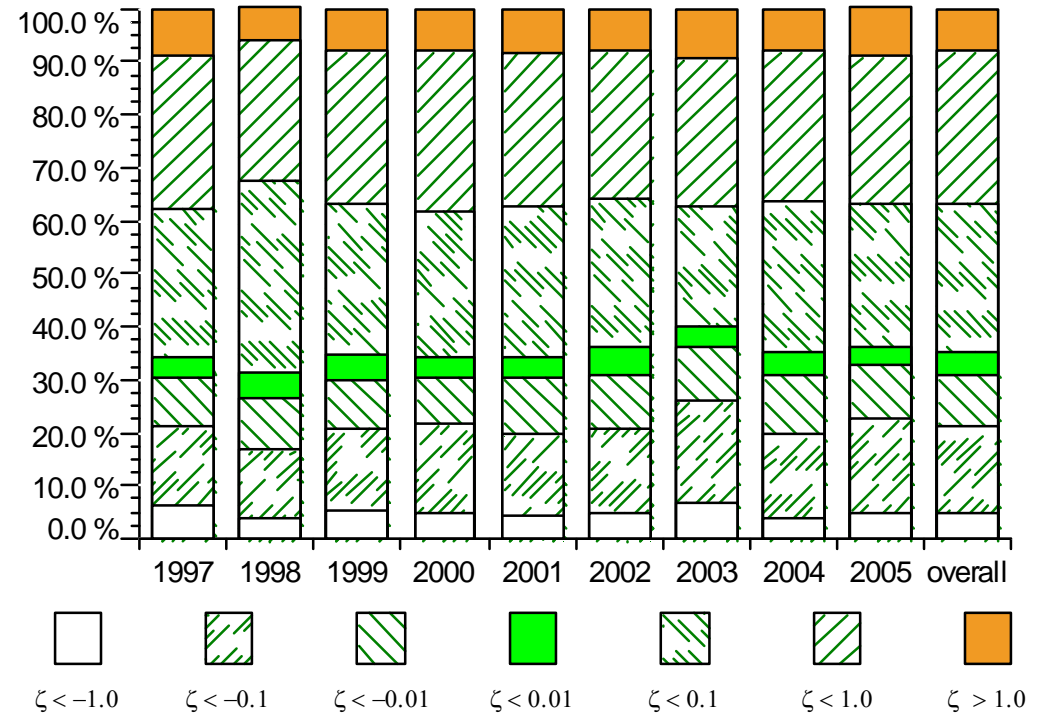
↑ Modell des Kospektrum für labile Schichtung in Abhängigkeit der Windgeschwindigkeit  $u$  (am Beispiel der ASTW) → Kein Einfluss Stabilität

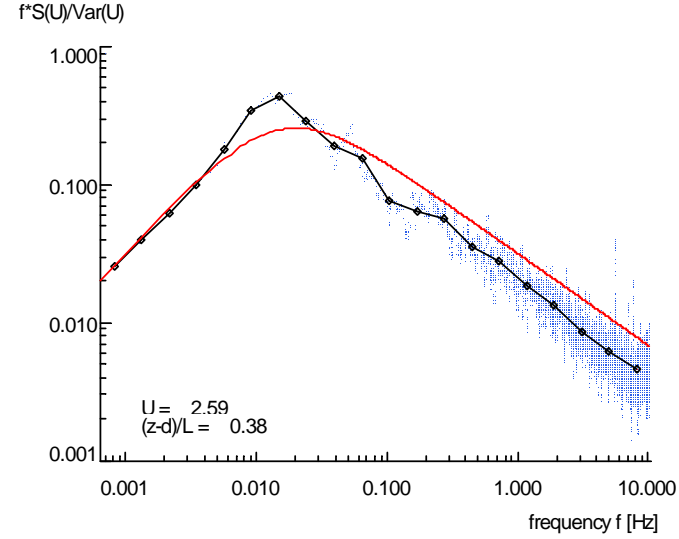
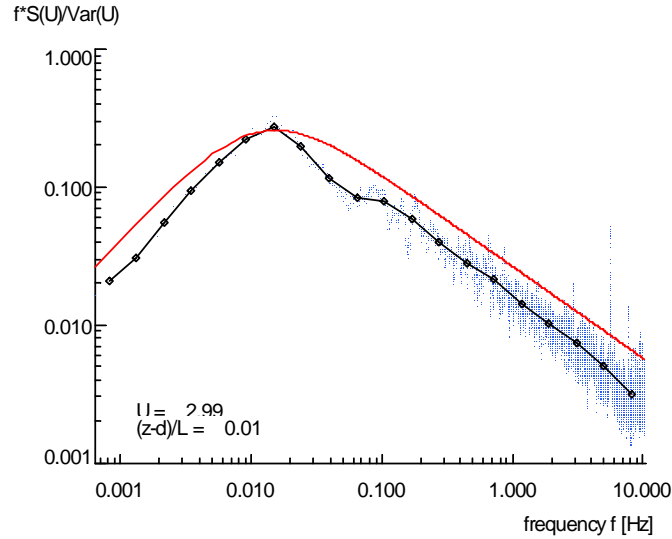
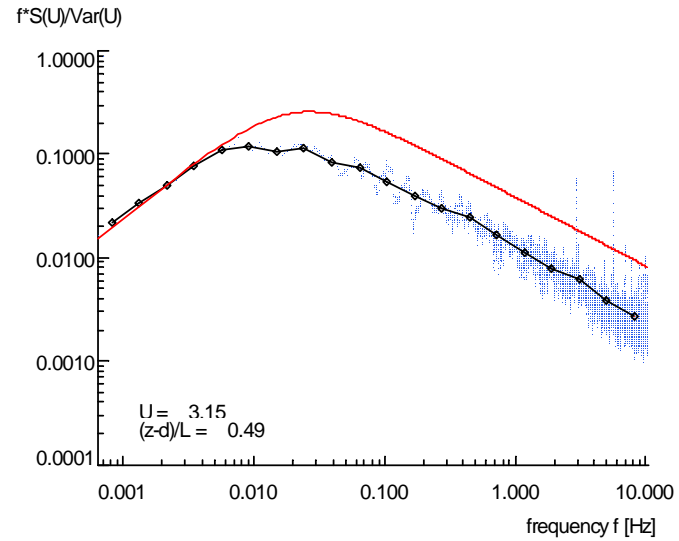
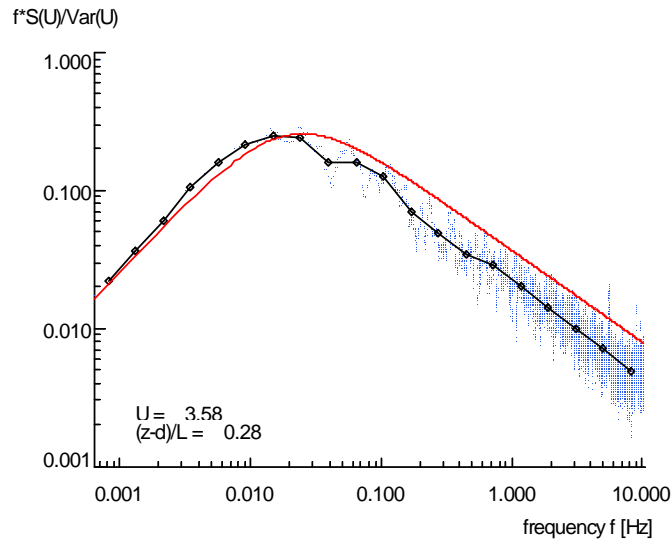
**ABER: praktisch  $u > 2.5$  m/s → neutrale Schichtung**



↑ Zusammenhang Windgeschwindigkeit und Stabilität an der ASTW

Verteilung verschiedener Schichtungszustände and der ASTW





**VGL gemessener Spektren (horizontal Wind  $u$ ) mit Modellspektren**  
 (Daten ASTW, Mai 1998)

# Danke für Ihre Aufmerksamkeit

Dipl. Hydrol. U. Spank  
TU- Dresden  
Institut für Hydrologie und Meteorologie  
Pienner Straße 23  
01737 Tharandt  
Tel.: 0351-463 39107  
Mail: [Uwe.Spank@tu-dresden.de](mailto:Uwe.Spank@tu-dresden.de)